DESARROLLO DE UN CONFORMADOR HÍBRIDO RANDOMWALK PARA LA MEJORA DEL CONTRASTE EN SISTEMAS DE IMAGEN SINTÉTICA

Óscar Martínez-Graullera, Virginia Yagüe-Jiménez, Alberto Ibañez, Montserrat Parrilla

Grupo de Procesamiento de Señales en sistemas Ultrasónicos Multicanal (MUSP)
Instituto de Tecnologías Físicas y de la Información (ITEFI)
Consejo Superior de Investigaciones Científicas (CSIC)

October 3, 2017

Desarrollo de instrumentación de ultasonidos



Mejora Tecnológica:

- ► FPGA: mayor capacidad de integración y elementos especificos de procesamiento DSP.
- Mejora de las capacidades de procesamiento de paralelismo de los sistemas: GPGPU, Multicore.
- Mayor nivel de integración: conversores, amplificadores y preamplicadores
- Desarrollo de electrónica especifica para sistemas de imagen ultrasónica: multiplexores, circuitos de excitación, interruptores, etc.

Aumento de las prestaciones generales de los sistemas de imagen ultrasónica: sistemas de arrays.





Nuevos Sistemas ultrasónicos



Nuevas opciones de instrumentación y nuevas metodologías de procesamiento.

- Desarrollo de sistemas más abiertos y programables.
- Sistemas que dan acceso a todo el conjunto de señales individuales de la adquisición.
- Desarrollo de implementaciones de computacion paralela para conformación de haz.

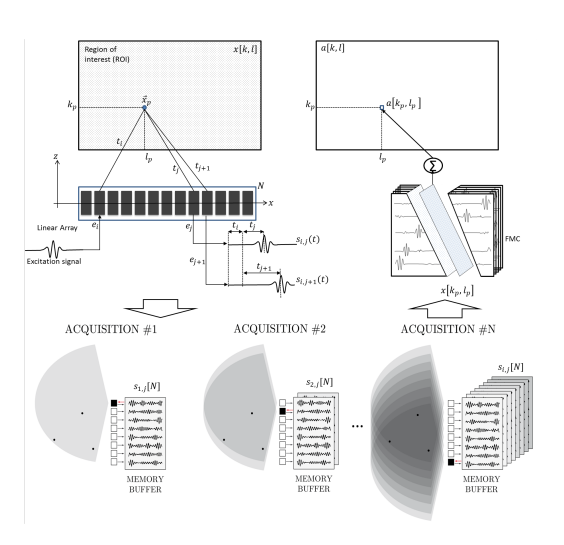
Sistemas de Imagen Sintética.





Imagen Sintética: Total Focusing Method





$$\mathbf{A}[k,l] = {\hat{s}_{i,j}[k,l]}, \quad i = {i_1, \dots, i_N}, \quad j = {j_1, \dots, j_N}$$





El coarray Full Matrix Capture.



```
*
                                                              a^{\circ} = [1000000]
                             b° =[1 1 1 1 1 1 1]
                                                            s_{n}^{o} = [1 1 1 1 1 1 1 1 0 0 0 0 0]
  *
                                                              a_{0}^{1} = [0\ 1\ 0\ 0\ 0\ 0\ 0]
                             b1 = [1 1 1 1 1 1 1]
                                                            s_{n}^{1}=[0\ 1\ 1\ 1\ 1\ 1\ 1\ 1\ 0\ 0\ 0\ 0\ 0]
   0080000
                       *
                                                              a_{n}^{2}=[0\ 0\ 1\ 0\ 0\ 0\ 0]
                             b2 = [1 1 1 1 1 1 1]
                                                            s_{n}^{2}=[0\ 0\ 1\ 1\ 1\ 1\ 1\ 1\ 1\ 0\ 0\ 0\ 0]
   *
                                                              a_{5}^{6} = [0\ 0\ 0\ 0\ 0\ 1]
                             b6 = [1 1 1 1 1 1 1]
                                                            s_{5} = [0\ 0\ 0\ 0\ 0\ 1\ 1\ 1\ 1\ 1\ 1]
```







El Coarray de Mínima Redundancia



```
a_{n}^{0}=[1\ 0\ 0\ 0\ 0\ 0\ 0]
                           b_{n}^{0}=[1\ 1\ 0\ 0\ 0\ 0\ 0]
                                                      s_{n}^{0}=[1\ 1\ 0\ 0\ 0\ 0\ 0\ 0\ 0\ 0\ 0\ 0]
    a_{n}^{1}=[0\ 1\ 0\ 0\ 0\ 0\ 0]
                           b_{n}^{1}=[0\ 1\ 1\ 0\ 0\ 0\ 0]
                                                      s_{n}^{1}=[0\ 0\ 1\ 1\ 0\ 0\ 0\ 0\ 0\ 0\ 0\ 0]
    a_{n}^{2}=[0\ 0\ 1\ 0\ 0\ 0\ 0]
                           b_n^2 = [0\ 0\ 1\ 1\ 0\ 0\ 0]
                                                      s_{n}^{2}=[0\ 0\ 0\ 0\ 1\ 1\ 0\ 0\ 0\ 0\ 0\ 0]
    b_{n}^{6}=[0\ 0\ 0\ 0\ 0\ 1]
a_{n}^{6}=[0\ 0\ 0\ 0\ 0\ 0\ 1]
                                                      s_{n}^{6}=[0\ 0\ 0\ 0\ 0\ 0\ 0\ 0\ 0\ 0\ 0\ 1]
```







Conformador Delay-and-Sum: DAS



index	i_1 ,	i_N	j_1	j_N	N_m
FMC	1	N	1	N	$N \times N$
MRC (2R-SAFT)	1	N	i	i+1	2N - 1

$$\mathbf{A}[k,l] = {\hat{s}_{i,j}[k,l]}, \quad i = {i_1, \dots, i_N}, \quad j = {j_1, \dots, j_N}$$

Valor del DAS en un punto [k, l]:

$$DAS[k, l] = \left| \sum_{i=i_1}^{i_N} \sum_{j=j_1}^{j_N} b_{i,j} \hat{s}_{i,j}[k, l] \right|$$

$$= \left| \sum_{i=i_1}^{i_N} \sum_{j=j_1}^{j_N} b_{i,j} I_{i,j}[k, l] + i \sum_{i=i_1}^{i_N} \sum_{j=j_1}^{j_N} b_{i,j} Q_{i,j}[k, l] \right|$$

$$= \left| \sum_{i=i_1}^{i_N} \sum_{j=j_1}^{j_N} b_{i,j} \mathbf{S}_{i,j}[k, l] \sin(\phi_{i,j}[k, l]) + i \sum_{i=i_1}^{i_N} \sum_{j=j_1}^{j_N} b_{i,j} \mathbf{S}_{i,j}[k, l] \cos(\phi_{i,j}[k, l]) \right|$$

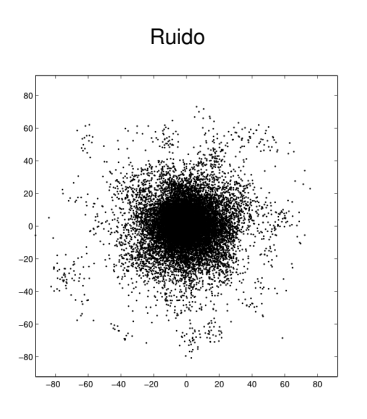


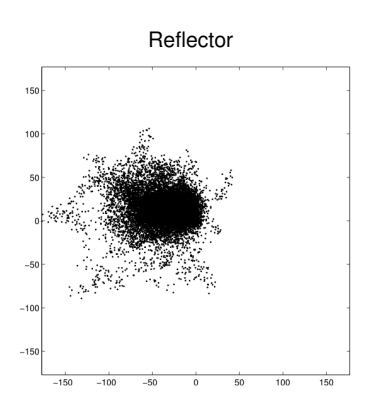


Distribución de las muestras en un punto



$$\mathbf{A}[k,l] = {\hat{s}_{i,j}[k,l]}, \quad i = {i_1, \dots, i_N}, \quad j = {j_1, \dots, j_N}$$





Análisis de la distribución de las fases 1



Factor de Coherencia de Fase: máscara de contraste

$$FCF[k,l] = 1 - \sqrt{\sigma^2(\sin\phi_{i,j}[k,l]) + \sigma^2(\cos\phi_{i,j}[k,l])}$$
 $i = \{i_1, \dots, i_N\}, \quad j = \{j_1, \dots, j_N\}$

$$IMAGEN[k, l] = FCF[k, l] \times DAS[k, l]$$

Fase instantánea: detector de reflectores

$$FI[k, l] = \left| \sum_{i=l_1}^{i_N} \sum_{j=j_1}^{j_N} b_{i,j} \phi_{i,j}[k, l] \right|$$

▶ Si SNR > 1, se detecta la presencia de reflector si:

$$FI[k,l] > \frac{1}{\log N_m}$$

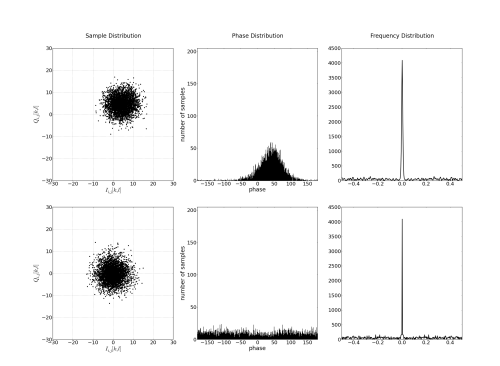
Si SNR ≪ 1, el umbral debe determinarse de forma empírica





Análisis de la distribución de las fases 2





$$P(\phi) = \sum_{l=i_1}^{i_N} \sum_{j=j_1}^{j_N} \delta[\phi - \phi_{l,j}[k,l]]$$

$$\Phi(\phi) = \sum_{m=-\infty}^{\infty} \delta(\phi - m2\pi) * P(\phi)$$

Construimos una señal periodica y buscamos el valor de la distribución unimodal a través del desarrollo en serie de Fourier.

$$c_n[k,l] = \frac{1}{2\pi} \int_{-\pi}^{\pi} P(\phi) e^{-i2\pi \frac{n}{2\pi} \phi} d\phi = \frac{1}{2\pi} \sum_{i=l_1}^{i_N} \sum_{j=l_1}^{j_N} e^{-in\phi_{i,j}[k,l]}$$





RandomWalk Beamformer



Calculamos el componente de primer orden:

$$c_{1}[k,l] = \frac{1}{2\pi} \sum_{i=i_{1}}^{l_{N}} \sum_{j=j_{1}}^{J_{N}} e^{-i\phi_{i,j}[k,l]}$$

$$= \frac{1}{2\pi} \sum_{i=i_{1}}^{i_{N}} \sum_{j=j_{1}}^{j_{N}} \cos(\phi_{i,j}[k,l]) - i\frac{1}{2\pi} \sum_{i=i_{1}}^{i_{N}} \sum_{j=j_{1}}^{j_{N}} \sin(\phi_{i,j}[k,l])$$

$$= \frac{1}{2\pi} \sum_{i=i_{1}}^{i_{N}} \sum_{j=j_{1}}^{j_{N}} \frac{I_{i,j}[k,l]}{\mathbf{S}_{i,j}[k,l]} - i\sum_{i=i_{1}}^{i_{N}} \sum_{j=j_{1}}^{j_{N}} \frac{Q_{i,j}[k,l]}{\mathbf{S}_{i,j}[k,l]}$$

$$RWB[k,l] = \frac{2\pi}{i_N \times j_N} |c_1[k,l]|$$





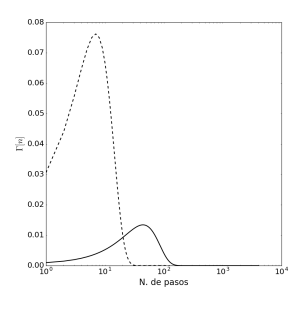
Estadistica del paseo aleatório



$$RWB[k, l] = \frac{1}{N_m} \left| \sum_{i=1}^{N_m} \frac{I_i[k, l]}{\mathbf{S}_i[k, l]} - i \sum_{i=1}^{N_m} \frac{Q_i[k, l]}{\mathbf{S}_i[k, l]} \right|$$

$$\Gamma[n] = \frac{2n}{N_m} \exp^{-n^2/N_m}$$

64	N_m	99.99%		
CMR	127	42		
FMC	4096	238		

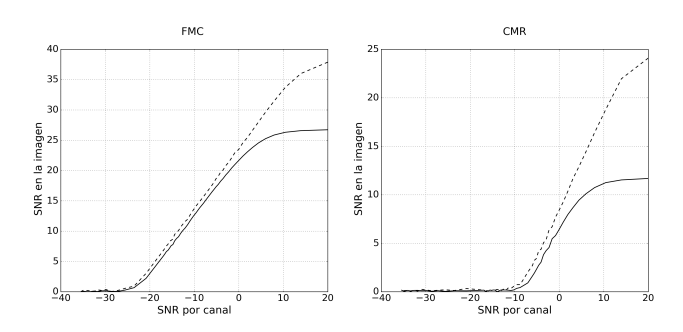






RWB versus DAS. Relación señal a ruido.





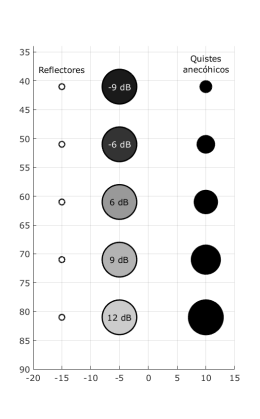
- Ambos conformadores presentan similares niveles de detección.
- El SNR en la imagen depende del número de señales involucradas.
- El RWB tiene un rango acotado
 - El nivel de ruido en el RWB viene determinado por la probabilidad de deteccción.
 - ▶ Para SNR altas el RWB satura el resultado.

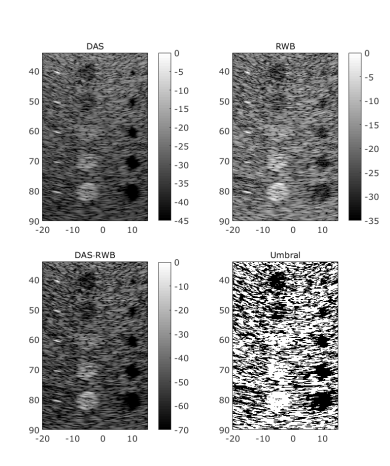




RWB+DAS. Imagen.







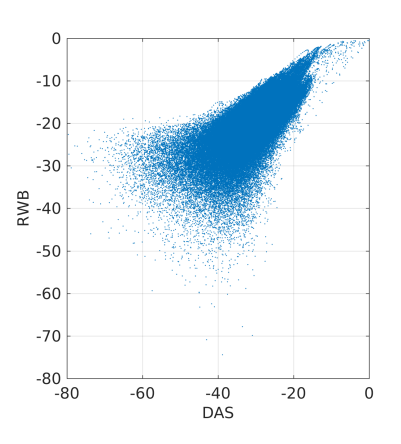
El RWB admite operar tanto como máscara de contraste como estimador de reflectores.





RWB versus DAS.





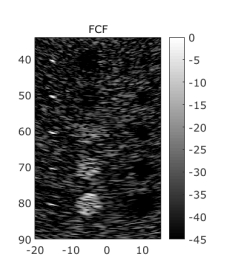
Los valores del RWB por debajo de -25dB no son estadisticamente significativos.

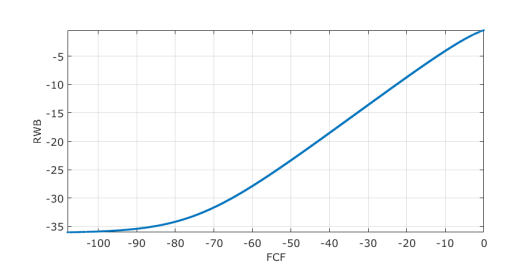




RWB versus FCF. Máscara de contraste







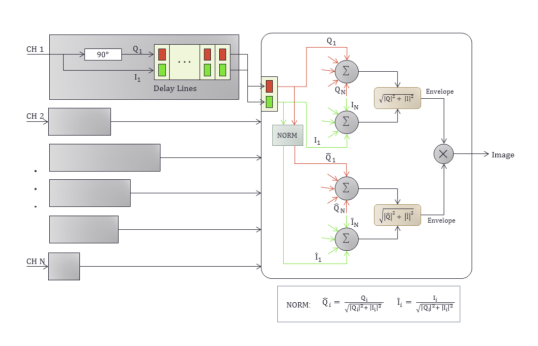
- Existe una relación cuadrática entre ambas expresiones.
- Ambas tienen propiedades similares: bajos lobulos secundarios.
- Ventajas del RWB:
 - Tiene un modelo bien definido. Fácil de interpretar.
 - Tiene un cálculo sencillo. Fácil de integrar en el flujo del DAS.
 - Puede actuar como detector y como filtro de contraste.





Conformador híbrido DAS+RWB





$$\mathbf{A}[k,l] = {\hat{s}_{i,j}[k,l]}, \quad i = {i_1, \dots, i_N}, \quad j = {j_1, \dots, j_N}$$

Reducir la correlación entre el DAS y el RWB: dividir la adquisición por la redundancia en el coarray

DAS
$$\mathbf{A_1}[k,l] = \{\hat{s}_{i,j}[k,l]\}, \quad i = \{i_{11}, \cdots, i_{1N}\}, \quad j = \{j_{11}, \cdots, j_{1N}\}$$

RWB $\mathbf{A_2}[k,l] = \{\hat{s}_{i,j}[k,l]\}, \quad i = \{i_{21}, \cdots, i_{2N}\}, \quad j = \{j_{21}, \cdots, j_{2N}\}$





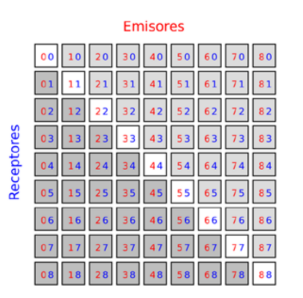
RWB: Full Matrix Capture.



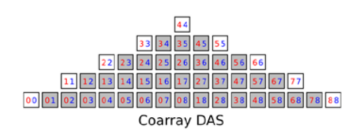
Dividir en Flujo de datos en dos conjuntos redundantes haciendo uso del principio de reciprocidad:

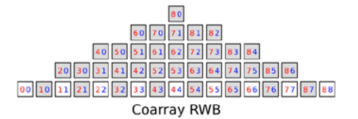
$$s_{i,j}(t) \equiv s_{j,i}(t)$$

Su cumplimiento esta ligado a la linealidad en el medio.



Full Matrix Capture

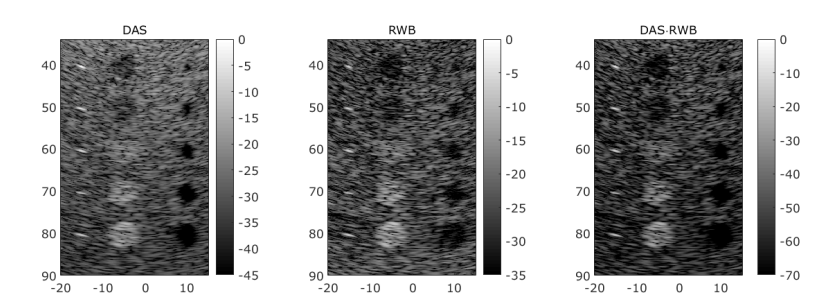






RWB: Full Matrix Capture. Imagen.





- Ambas imagenes son similares.
- ▶ Mejora generalizada del rango dinámico en 25dB.

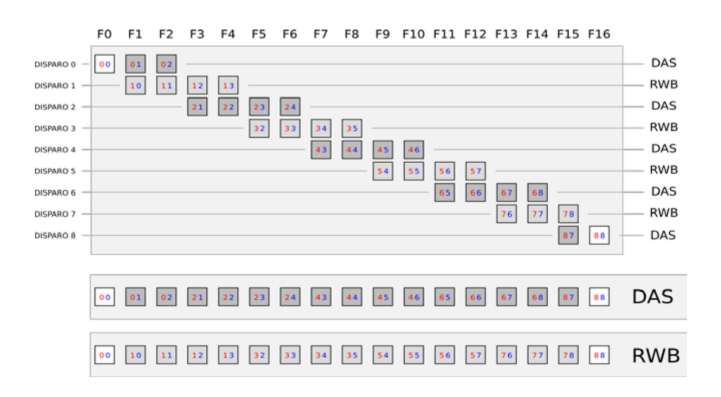




RWB: Coarray de Mínima Redundancia.



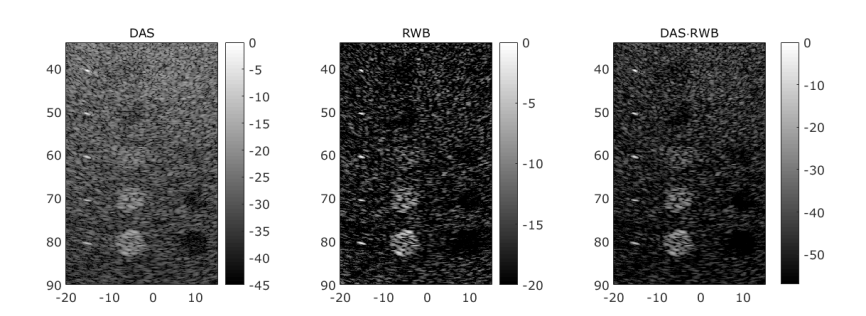
Introducir nuevo hardware (4 canales) para generar en paralelo dos CMR dirigiendo cada uno sobre su propio conformador





RWB: Coarray de Mínima Redundancia. Imagen.





- ▶ Incrementa el rango dinámico de alrededor de 15dB.
- Mejora la deteccion de los quistes de menor reflectividad





Conclusiones



- Se ha presentado el RandomWalk Beamformer.
 - Puede actuar como máscara de contraste: tiene una relación cuadrática con el FCF.
 - Tiene una fácil interpretación estadística: estimador.
 - Tiene la misma respuesta frente a la SNR por canal que el DAS.
 - Tiene una fácil integración dentro de la cadena de procesamiento del DAS: bajo coste en recursos e implementable en tiempo real.
- Se han estudiado dos tipos de implementación FMC y CMR.
- Sus prestaciones son dependientes del número de señales.
- Su uso como máscara de contraste es útil en sistemas de bajos recursos basados en CMR.
- Se deben desarrollar otros modos de imagen que hagan mejor uso de sus propiedades como estimador

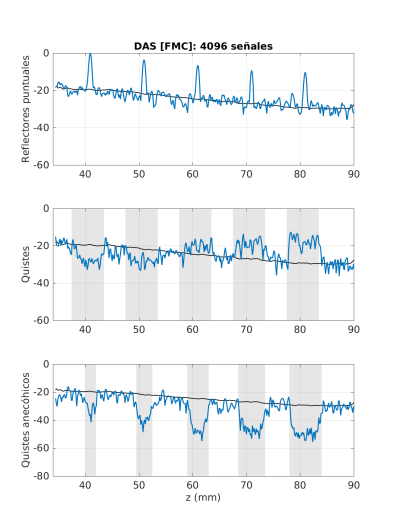
AGRADECIMIENTOS: Proyecto DPI2016-80239-R (AEI/FEDER, UE).

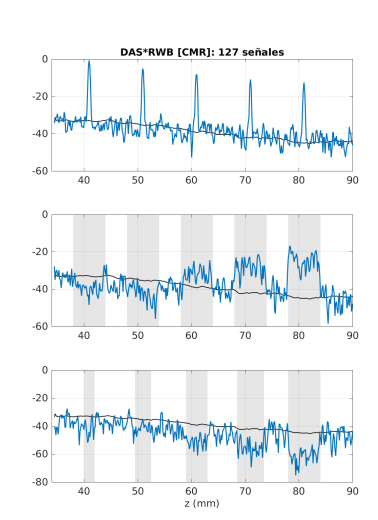




Comparativa entre TFM(DAS) y CMR(DAS·RWB).











Acknowledgement

This work has been supported by the AEI/FEDER (EU). Project DPI2016-80239-R